基于多场景的 Wi-Fi 6 与 Wi-Fi 7 性能对比测试研究

李晓玲1 LI Xiaoling

摘 要

随着无线网络技术的飞速发展, Wi-Fi 6 (IEEE 802.11ax) 和 Wi-Fi 7 (IEEE 802.11be) 先后推向应用, 二者性能差异备受关注。为明晰其在实际场景中的表现,文章通过构建多场景测试环境,对 Wi-Fi 6 与 Wi-Fi 7 的吞吐量进行对比测试。实验结果显示, Wi-Fi 7 在吞吐量指标上较 Wi-Fi 6 有显著提升, 尤其 在复杂多用户场景下优势尤为突出。研究成果为网络部署规划及用户设备升级决策,提供了关键参考依 据,助力适配新一代无线技术需求,推动无线网络高效应用落地。

关键词

Wi-Fi 6; Wi-Fi 7; 性能对比; 吞吐量

doi: 10.3969/j.issn.1672-9528.2025.07.022

0 引言

近年来, 随着智能设备的广泛普及, 4K 视频流、云游 戏、虚拟现实等高带宽应用层出不穷,用户对无线网络的传 输速率、稳定性等性能提出了更高要求[1]。Wi-Fi作为室内 无线网络的主要技术, 其标准的不断迭代成为满足用户需求 的关键。Wi-Fi 6于 2019年正式发布,通过引入正交频分多 址(OFDMA)、多输入多输出(MIMO)增强等技术,显著 提升了网络效率和多用户性能^[2]。而 Wi-Fi 7 于 2022 年发布, 通过在更高频段(6 GHz)拓展频谱资源、采用 4096-QAM 等高效调制解调技术,以及引入多链路操作(MLO)等新特 性[3],进一步优化无线网络性能。旨在提供更高的吞吐量、 更低的延迟和更强的抗干扰能力[4]。尽管 Wi-Fi 7 在理论上 具有诸多优势, 但在实际应用场景中的性能表现仍需通过实 验验证。本研究通过构建多场景测试平台,对Wi-Fi6和Wi-Fi 7进行了全面的性能对比测试,以期为网络规划者、设备 制造商和普通用户提供有价值的参考。

1 实验方案设计

为帮助学生理解 WLAN 协议,培养学生的网络实操能 力和创新意识,文章以Wi-Fi 6(802.11ax)和Wi-Fi 7(802.11be) 为例,设计WLAN协议实验方案,进行无线组网实验、Wi-Fi 6 和 Wi-Fi 7 AP 性能对比测试实验,具体设计方案如图 1 所示。

该方案由 AC、AP、POE 交换机、网络吞吐量测试

1. 西北农林科技大学网络与教育技术中心 陕西杨凌 712100 [基金项目]陕西省高等教育改革研究项目(23BY018); 教育部产学合作协同育人项目(231006620084923)

服务器组成。AC可选用 AirEngine 9700-M1 或 AC6805, Wi-Fi 7 AP 选用 AirEngine 8771-X1T, Wi-Fi 6 AP 选用 AirEngine5761-12、AirEngine5761-11EI、AirEngine5762-13W、 AirEngine5762-16W, 交换机选用CloudEngine S5732-H24UM2CC, STA 选用小米 13 (海外安卓版本), IxChariot Server 硬件配置为 CPU 酷睿 i5 12 代系列, 16 GB 内存, 万兆电口 intel x540 系列网卡。软件安装 Windows server2012 操作系统和网络吞吐量测试软件 IxChariot^[5]。

需要注意的是,用户终端要正常运行 IxChariot,必须安 装 Endpoint (7.0 及以上版本),除 endpoint 不安装其他任 何应用软件。服务器和终端上均需关闭杀毒、安全软件,关 闭不必要的进程,预测试过程中时刻查看服务器和客户端的 CPU 和内存占用情况,不超过 85%,若超过,说明终端或服 务器无法满足实验要求,需要协调更好硬件资源的设备[6]。

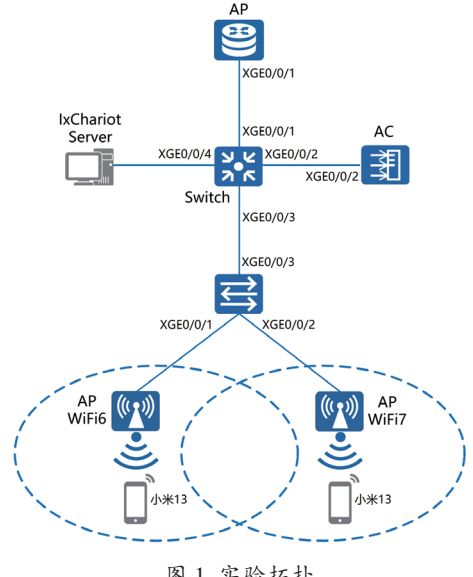


图1实验拓扑

1.1 无线组网实验

本实验采用二层旁挂组网方式,在该实验中网络流量多选择直接通过交换机发往上层网络,无需经过 $AC^{[7]}$ 。该实验采用配置网络互通 \rightarrow 配置 AP 上线 \rightarrow 配置 WLAN 业务 \rightarrow 结果验证的思路完成无线组网实验。具体步骤为:

1.1.1 配置网络互通

在设备上配置对应 VLAN 及接口类型,保证业务能够二层透传。具体如表 1 所示。

表 1 VLAN 端口类型及参数设计

| 设备 | 端口 | 端口类型 | VLAN 参数 |
|-------|---|---|------------------------|
| | GE0/0/1 Access GE0/0/2 Trunk W1 GE0/0/3 Trunk GE0/0/4 Access GE0/0/1 Trunk W2 GE0/0/2 Trunk GE0/0/3 Trunk | Access | PVID: VLAN 30 |
| | | PVID: 1 | |
| CWI | GE0/0/2 | Access PVII Trunk Allow-pa Access PVII Access PVII Trunk PVII Allow-pa PVII Allow-pa Trunk Allow-pa PVII PVII Allow-pa PVII Allow-pa | Allow-pass: VLAN 10 |
| SWI | GE0/0/2 | T 1 | PVID: 1 |
| | GE0/0/3 | Trunk | Allow-pass: VLAN 10 20 |
| | GE0/0/4 | Access | PVID: VLAN 20 |
| | GE0/0/I | T. 1 | PVID: VLAN 10 |
| | GE0/0/1 | Trunk | Allow-pass: VLAN 10 20 |
| CILIO | GE0/0/2 | T. 1 | PVID: VLAN 10 |
| SW2 | GE0/0/2 | Trunk | Allow-pass: VLAN 10 20 |
| | GE0/0/2 | T. 1 | PVID: 1 |
| | GE0/0/3 | Trunk | Allow-pass: VLAN 10 20 |
| 4.6 | GE0/0/2 | T 1 | PVID: VLAN 1 |
| AC | GE0/0/2 | Trunk | Allow-pass: VLAN 10 |

- (1) 先输入 sysname SW1 命令将交换机的名字命名成 SW1, 然后运用 VLAN batch 10 20 30 命令在 SW1 上创建 VLAN10、VLAN20 和 VLAN30。
- (2) 在 SW1 上根据表 1 对接口划分接口类型及放行对应 VLAN。
- (3) 先输入 sysname SW2 命令将交换机的名字命名成 SW2, 然后运用 VLAN batch 10 20 命令在 SW2 上创建 VLAN10 和 VLAN20。
- (4) 在 SW2 上根据表 1 对接口划分接口类型及放行对应 VLAN。
- (5) 按照表 2 规划的 IP, 在 R1 上配置接口 IP 并写一条目的地为用户网段的静态路由。

表 2 IP 地址规划

| 设备 | 接口 | IP 地址 |
|------------------|-----------|--------------|
| R1 | GE0/0/1 | 10.1.30.1/24 |
| CWI | Vlanif 20 | 10.1.20.1/24 |
| SW1 | Vlanif 30 | 10.1.30.2/24 |
| AC | Vlanif 10 | 10.1.10.1/24 |
| IxChariot server | Vlanif 20 | 10.1.20.1/24 |

1.1.2 配置 AP 上线

配置 DHCP 服务器,保证用户和 AP 能够正常获取 IP 地址。

- (1) 在SW1上使能 DHCP 功能后配置接口地址池。
- (2) 在 AC 上使能 DHCP 功能后配置接口地址池。
- (3) 配置 AC 源接口地址为 10.1.10.1。
- (4) 在 AC 上创建 AP 组 Huawei。
- (5) 配置 AP 认证方式为不认证,并等待 AP 上线。
- (6) 使用命令 display ap all 查询 AP 上线状态,发现两台 AP 均已上线,并运用 ap-id 和 ap-name 命令将两台 AP 分别命名为 AP1 和 AP2,并运用 ap-group 命令将 AP1 和 AP2 加入 AP 组 Huawei。再次使用 display ap all 命令查询配置是否生效,发现配置已经生效。
- (7) 为防止非 AP 接入该网络,需将 AP 认证方式切换成 MAC 认证。

1.1.3 配置 WLAN 业务

根据表 3,配置 SSID 模板、安全模板和 VAP 模板,保证 AP 正常释放出信号,终端能够正常连接。

表 3 WLAN 数据规划

| 表 3 WLAIN 致据规划 | | | |
|----------------|--|--|--|
| 数据 | 配置 | | |
| DHCP 服务器 | AC 作为 DHCP 服务器为 AP 分配 IP 地址, 同时作为 AP 网关。 SW1 作为 DHCP 服务器为用户分配 IP 地址, 同 时作为用户网关。 | | |
| AP 的地址池 | 10.1.10.2 ~ 10.1.10.254/24 | | |
| 用户的地址池 | 10.1.20.2 ~ 10.1.20.254/24 | | |
| AC 的源接口地址 | 10.1.10.1/24 | | |
| AP 组 | 名称: Huawei; 引用模板: VAP 模板、域管理 模板 | | |
| 域管理模板 | 名称: Huawei; 国家码: CN | | |
| SSID 模板 | 名称: Huawei; SSID 名称: Huawei | | |
| 安全模板 | 名称: Huawei; 安全策略: WPA- WPA2+PSK+AES; 密码: a1234567 | | |
| VAP 模板 | 名称: Huawei; 转发模式: 直接转发; 业务 VLAN: VLAN 20; 引用模板: SSID 模板、安全模板 | | |

- (1) 利用 ssid-profile name Huawei 命令创建 SSID 模板 Huawei,并使用 ssid Huawei 命令设置 SSID 为 Huawei。
- (2) 使用 security-profile name Huawei 命令创建安全模板 Huawei,并输入 security wpa-wpa2 psk pass-phrase a1234567 aes 命令设置密码。
 - (3) 创建 VAP 模板 Huawei, 并绑定 SSID 和安全模板,

设置业务 VLAN 和转发方式。

- (4) 使用 regulatory-domain-profile name Huawei 命令创建域管理模板 Huawei,并输入 country-code CN 命令设置国家码为 CN。
- (5) 使用 ap-group name Huawei 命令进入 AP 组 Huawei, 然后输入 regulatory-domain-profile Huawei 命令绑定域管理模 板 Huawei, 最后使用 vap-profile Huawei wlan 1 radio all 命令 绑定 VAP 模板 Huawei。

1.1.4 结果验证

- (1) 查看 AP 是否放出信号,具体方法在 AC 上使用命令 display vap ssid Huawei 查询,发现两台 AP 均已放出双频信号。
 - (2)使用终端连接AP,同时Ping路由器R1测试连通性。

1.2 无线网络协议测试实验

进行无线网络协议极限测试实验之前,为保证对比实验 真实性、稳定性,保障最大带宽用于测试,先关闭射频调优、 动态限速、MU-MIMO、Ofdma、配置 Edca、波束成形、空口 扫描、频谱导航、DFI、智能漫游、Bss-color、空间复用等功能。 然后,设置 RTS-CTS 值,并进行配置模板绑定。

1.2.1 网络吞吐量测试软件 IxChariot 配置

IxChariot 支持基于 TCP 和 UDP 协议的吞吐量测试。UDP 跑流脚本选择 UDP_Throughput.scr, TCP 跑流脚本建议选择 High_Performance Throughput.scr, File_size=100 W,其余参数默认,打流时间设置为 2 min, TCP流数通常设置 10~15 条; UDP流数通常 40~60 条,实际情况可以通过增加流数,观察测试数据,多次测试后获得性能最优值。UDP 灌包脚本由于流量过大会导致打流中断或失败,此时需要运用 send_data_rate 给每条流进行限速,具体数值应根据流量和流条数估算。例如 80 MHz 极限性能一般会在 920 Mbit/s,有 20 条流,则 send_data_rate 设置为50 Mbit/s 左右。

1.2.2 单用户性能对比测试

利用对比分析法评估 Wi-Fi 6、Wi-Fi 7 AP 在单用户下的性能,帮助学生客观了解两种协议的性能。为提高实验准确性,Wi-Fi 6、Wi-Fi 7 AP 均采用 AirEngine 8771-X1T。在图 1 拓扑中,先在 Wi-Fi 6 AP 上配置无线业务"Wi-Fi 6-2.4 GHz""Wi-Fi 6-5 GHz";在 Wi-Fi 7 AP 上配置无线业务"Wi-Fi 7-2.4 GHz""Wi-Fi 7-5 GHz""Wi-Fi 7-6 GHz"。然后,STA 关联 SSID,并 Ping chariot 服务器,测试到网络吞吐量测试服务器的网络连通性。最后,在测试服务器和STA 上运行吞吐量测试软件 IxChariot,测试 STA 与 AP 之间上行 / 下行 TCP 或 UDP 吞吐量,测试 2 min,记录吞吐量,统计结果如表 4 所示。

表 4 单用户性能对比测试结果

| अन्तर २ | 测试 AP | 测试频段/GHz | 测试终端 - | 单用户吞吐量 / (Mbit·s ⁻¹) | | |
|---------|---------|----------|---------|----------------------------------|-----------|--|
| 视りて | | | | 上行 | 下行 | |
| W. | E: 6 | 2.4 | Wi-Fi 6 | 458.708 | 463.154 | |
| W1 | Wi-Fi 6 | 5 | Wi-Fi 6 | 1 939.864 | 1 963.364 | |
| | Wi-Fi 7 | 2.4 | Wi-Fi 7 | 523.967 | 517.728 | |
| Wi | | 5 | Wi-Fi 7 | 2 379.358 | 2 431.654 | |
| | | 6 | Wi-Fi 7 | 4 155.779 | 4 170.371 | |

该项测试需要注意的是,一是 AP的 6 GHz 射频要在 2.4/5 GHz 任一射频一起使用时才能生效,在配置 6 GHz 射频前需要先配置 2.4/5 GHz 射频的信号;二是 AP的 6 GHz 射频信号需使用 OWE 加密方式。

1.2.3 多用户性能对比测试

该实验目的在于测试多个终端接入 Wi-Fi 6 AP 和 Wi-Fi 7 AP 后的并发性能。实验在图 1 的测试环境中进行,Wi-Fi 6 AP 和 Wi-Fi 7 AP 均 采 用 AirEngine 8771-X1T。在 Wi-Fi 6 AP 上配置无线业务"Wi-Fi 6-2.4 GHz""Wi-Fi 6-5 GHz";在 Wi-Fi 7 AP 上 配置无线业务"Wi-Fi 7-6 GHz"。STA1-10 分别关联 SSID,并运用 Ping 命令测试各终端与网络吞吐量测试服务器连通性。Ping 测试成功后,在测试 PC和 STA 上运行吞吐量测试软件 IxChariot,测试 2 min 内 10组 STA 与 AP 之间上行 / 下行吞吐量,记录吞吐量最大值,结果如表 5 所示。

表 5 多用户并发性能对比测试结果

| 测试 AP | 测试频段/GHz | 测试终端 一 | 吞吐量 / (Mbit·s ⁻¹) | | |
|---------|----------|---------|-------------------------------|-----------|--|
| | | | 上行 | 下行 | |
| Wi-Fi 6 | 2.4 | Wi-Fi 6 | 489.005 | 501.453 | |
| W1-F1 6 | 5 | Wi-Fi 6 | 2 027.691 | 2 411.438 | |
| | 2.4 | Wi-Fi 7 | 638.651 | 553.714 | |
| Wi-Fi 7 | 5 | Wi-Fi 7 | 2 881.754 | 2 890.322 | |
| | 6 | Wi-Fi 7 | 3 131.707 | 3 125.398 | |

1.2.4 Wi-Fi 6 AP 的单用户整机性能

为了解 Wi-Fi 6 AP 接入单用户时的最高性能,本实验以 Wi-Fi 6 AP 的 5 GHz 射 频 为例,测试单用户连接 AirEngine5761-12、AirEngine5761-11EI、AirEngine5762-13W、AirEngine5762-16W 四款 Wi-Fi 6 AP 时,TCP 下行吞吐量、TCP 上行吞吐量、UDP 下行吞吐量、UDP 上行 AP 吞吐量,具体结果如表 6 所示。

表 6 四款 Wi-Fi 6 AP 单用户接入最大性能对比

| | TCP 下行 | TCP 上行 | UDP 下行 | UDP 上行 |
|--------------------|---------------------------|---------------------------|---------------------------|---------------------------|
| Wi-Fi 6 AP | 吞吐量 | 吞吐量 | 吞吐量 | 吞吐量 |
| | / (Mbit·s ⁻¹) |
| AirEngine5761-12 | 942 | 917 | 953 | 924 |
| AirEngine5761-11EI | 936 | 927 | 960 | 944 |
| AirEngine5762-13W | 942 | 939 | 954 | 953 |
| AirEngine5762-16W | 944 | 939 | 953 | 946 |

1.2.5 Wi-Fi7 AP 的整机性能 (3 用户接入)

为了测试 Wi-Fi 7 AP 的整机性能,该实验利用 3 台分别连接 Wi-Fi 7 AP AirEngine 8771-X1T,具体步骤为:在 AC 上配置无线业务 "SSID-Wi-Fi 7-2 GHz",将配置下发 AP 2 GHz 射频,频宽设置为 40 MHz;AC 上配置无线业务 "SSID-Wi-Fi 7-5 GHz",将配置下发 AP 5 GHz 射频,频宽设置为 160 MHz;AC 上配置无线业务 "SSID-Wi-Fi 7-6 GHz",将配置下发 AP 6 GHz 射频,频宽设置为 320 MHz。完成后用 STA1 关联 "SSID-Wi-Fi 7-2 GHz",STA2 关联 "SSID-Wi-Fi 7-5 GHz",STA3 关联 "SSID-Wi-Fi 7-5 GHz",STA3 关联 "SSID-Wi-Fi 7-6 GHz"。在网络吞吐量测试服务器和 STA1、STA2、STA3 上运行吞吐量测试软件 IXChariot,测试 STA1、STA2、STA3 与 AP 之间上行/下行 TCP 或 UDP 吞吐量,测试 2 min,记录最大吞吐量值,结果如表 7 所示。

表 7 三种类型射频时单用户接入最大性能对比

| | AP 整机性能 | | |
|-----------|---------------------------|----------|--|
| | 2.4 GHz 射频 - 单用户最大吞吐量 | 523.967 | |
| | / (Mbit·s ⁻¹) | 343.907 | |
| AirEngine | 5 GHz 射频 - 单用户最大吞吐量 | 2431.654 | |
| 8771-X1T | / (Mbit·s ⁻¹) | 2431.034 | |
| | 6 GHz 射频 - 单用户最大吞吐量 | 4170.371 | |
| | / (Mbit·s ⁻¹) | 41/0.3/1 | |

2 实验结果分析

WLAN 组网实验验证结果表明,该实验组网成功,STA 可与路由器 R1 通信,且流量不经过 AC 直接通过交换机转发至上层网络。单用户性能对比测试表明,Wi-Fi 7 协议下 6 GHz 射频下的用户上行速度可达 4 155.779 Mbit/s,用户下行速度可达 4 170.371 Mbit/s,且 Wi-Fi 7 协议下的 2.4 GHz 和 5 GHz 射频下的单用户接入速度大于 Wi-Fi 6 协议下的 2.4 GHz 和 5 GHz 射频下的单用户接入速度。多用户性能对比测试表明,10 个终端同时接入的情况下,Wi-Fi 7 协议下的 2.4 GHz 和 5 GHz 射频下的用户最大接入速度大于 Wi-Fi 6 协议下的 2.4 GHz 和 5 GHz 射频下的用户最大接入速度大于 Wi-Fi 6 协议下的 2.4 GHz 和 5 GHz 射频下的用户最大接入速度

13W、AirEngine5762-16W 四 款 Wi-Fi 6 AP 时, TCP 下 行 流量分别为 942、936、942、944 Mbit/s, TCP 上行流量 917、927、939、939 Mbit/s, UDP 下 行流量分别为 953、960、954、953 Mbit/s, UDP 上 行流量分别为 924、944、953、946 Mbit/s, 差距不明显。单用户接入 Wi-Fi 7 AP 时, 2.4 GHz 射频下单用户最大吞吐量 523.967 Mbit/s, 5 GHz 射频下单用户最大吞吐量 2 431.654 Mbit/s, 6 GHz 射频下单用户最大吞吐量 4 170.371 Mbit/s, Wi-Fi 7 设备性能远高于 Wi-Fi 6 设备性能。

3 结语

通过对 Wi-Fi 6 和 Wi-Fi 7 在单用户、多用户场景下的性能对比测试,结果表明 Wi-Fi 7 在吞吐量性能指标上均显著优于 Wi-Fi 6, 有50%~60%的提升。尤其在多用户并发场景下,Wi-Fi 7 的多链路操作和抗干扰技术展现出了强大的优势。本研究结果为网络部署者在选择无线网络技术时提供了重要参考,对于追求极致网络性能的企业和高端用户,Wi-Fi 7 无疑是更好的选择。同时,随着 Wi-Fi 7 设备的逐渐普及和成本降低,未来有望在更多领域得到广泛应用。然而,本研究也存在一定局限性,如测试设备和场景的多样性仍有待进一步拓展。未来的研究可以考虑更多品牌和型号的设备,以及更复杂的实际应用场景,以更全面地评估 Wi-Fi 7 的性能表现。

参考文献:

- [1] 王刚, 吕峰, 辛肖飞, 等. 基于容量优化的无线局域网规划问题研究[J]. 信息技术与信息化, 2023(5):15-18.
- [2] 曹伯强. 第六代无线 AP 楼内覆盖模式的应用研究 [J]. 信息技术与信息化, 2022(10):180-183.
- [3] 史航,刘谦,曹小波.Wi-Fi7标准研究现状与技术优势分析[J].信息通信技术与政策,2024,50(9):92-96.
- [4] 魏鹏, 陆锐敏, 王琪. 基于 AI 的抗干扰卫星通信体系架构及技术 [J]. 太赫兹科学与电子信息学报, 2025, 23(5):509-519.
- [5] 张佳庚,杜丰,师有为,等.基于双连接和回传带宽配置的系统吞吐量效用和最大化算法[J]. 电讯技术,2022,62(10):1452-1458.
- [6] 蒋万春, 李昊阳, 陈晗瑜, 等. 网络拥塞控制方法综述 [J]. 软件学报, 2024,35(8):3952-3979.
- [7] 许知博,段新.考虑网络吞吐量的异构无线传感器网络分 簇路由算法 [J]. 沈阳工业大学学报,2022,44(3):326-330.

【作者简介】

李晓玲(1977-), 女,陕西周至人,本科,工程师,研究方向:信息网络技术应用与现代教育技术,email:lxl@nwsuaf.edu.cn。

(收稿日期: 2025-03-01 修回日期: 2025-07-02)